



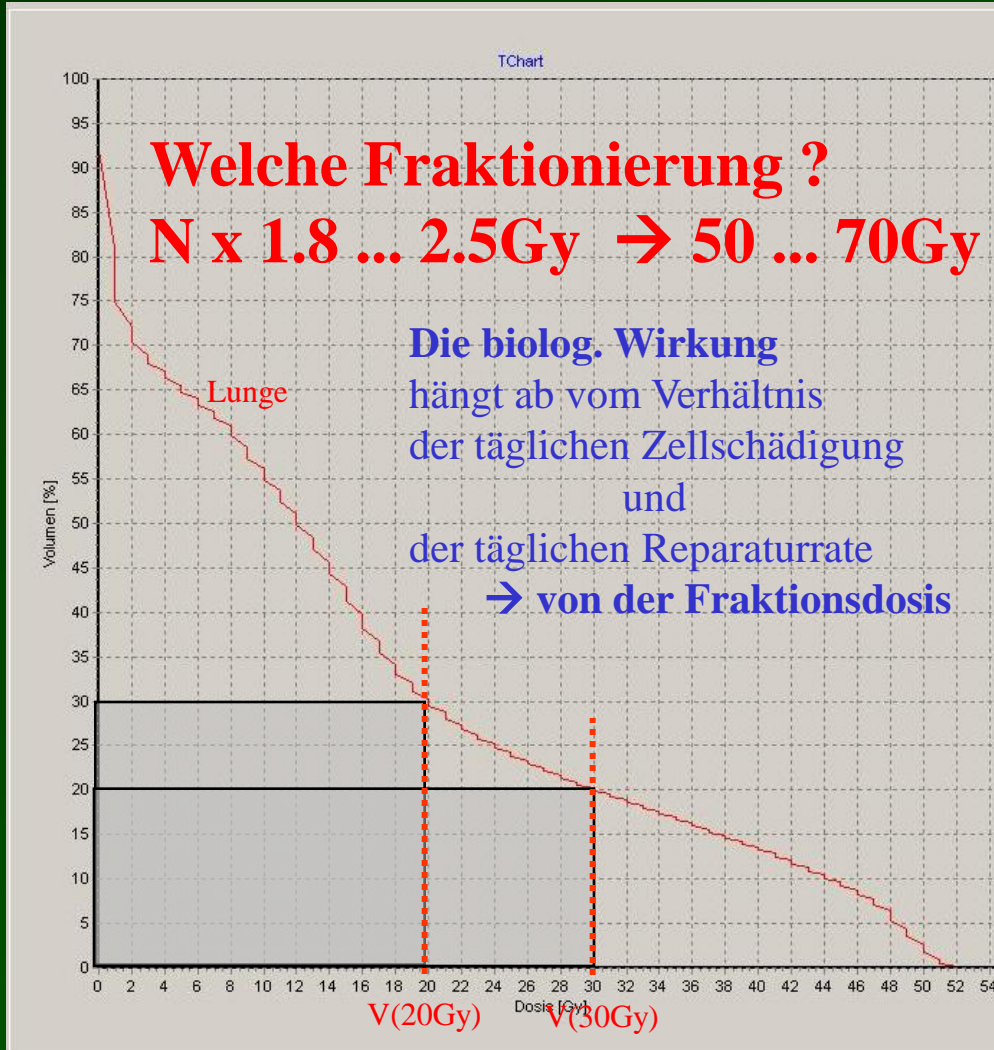
Hilfsmittel zur IMRT-Plan Bewertung aus Sicht der biolog. wirksamen Dosis



Eyck Blank, Dietrich Sidow, W. Huhnt,
Andre Buchali
Ruppiner Kliniken GmbH (Neuruppin)

Problem - DVH-Limits

(grundlegendes zu den Limits)



G. Rodrigues et.al.

(Dept. Of Radiation Oncology London Cancer Centre)

Prediction of radiation pneumonitis by dose – volume histogram parameters in lung cancer – a systematic review

Fragen ?

Wie sind diese Grenzwerte
ermittelt worden ?

Bestimmt aus nominellen DVH's ?

Welche Fraktionierungen ?

Faktionierungen ERD, GRD ?

Retrospektiver Zeitraum ?

AP-Felder, 3d-CRT, Biolog. Modelle

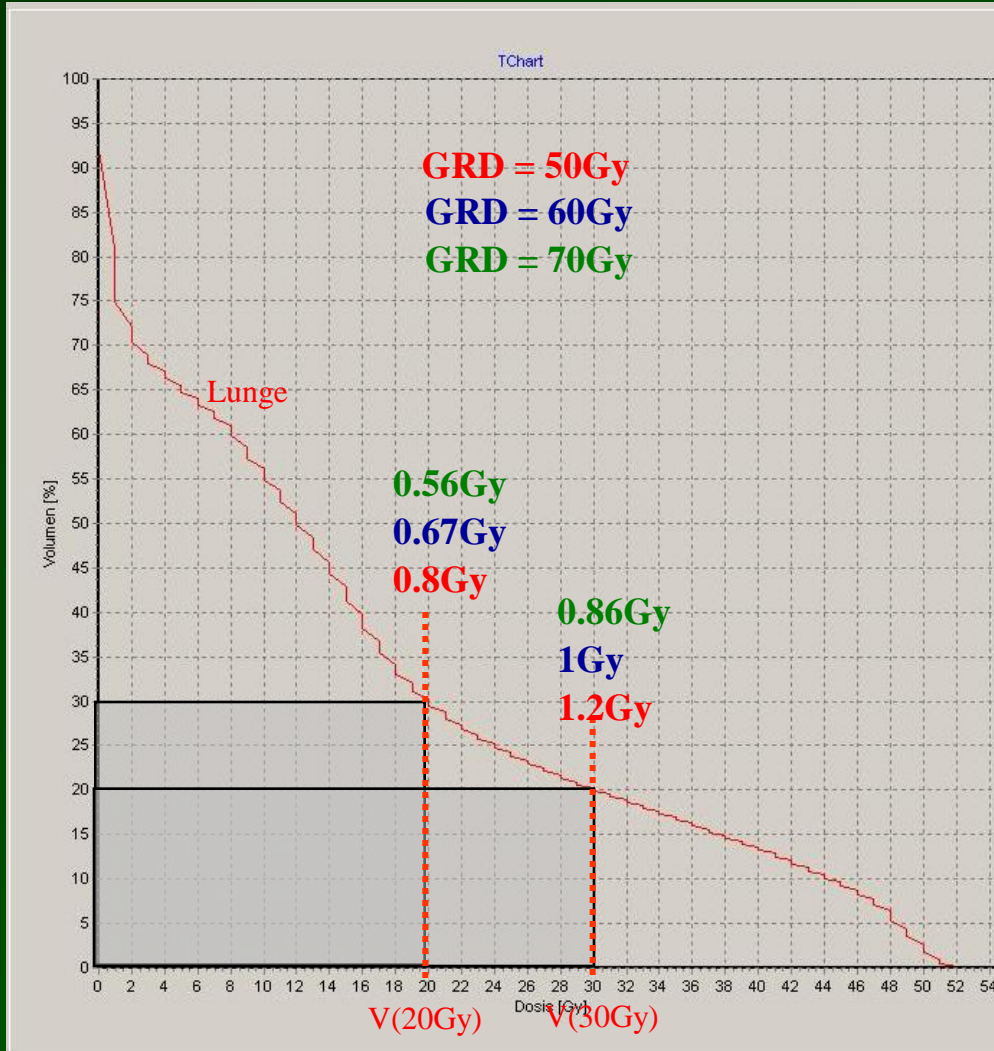
Welche Rechenalgorithmen ?

PencilBeam

None Modif Batho, EqTAR ?

oder schon AAA ?

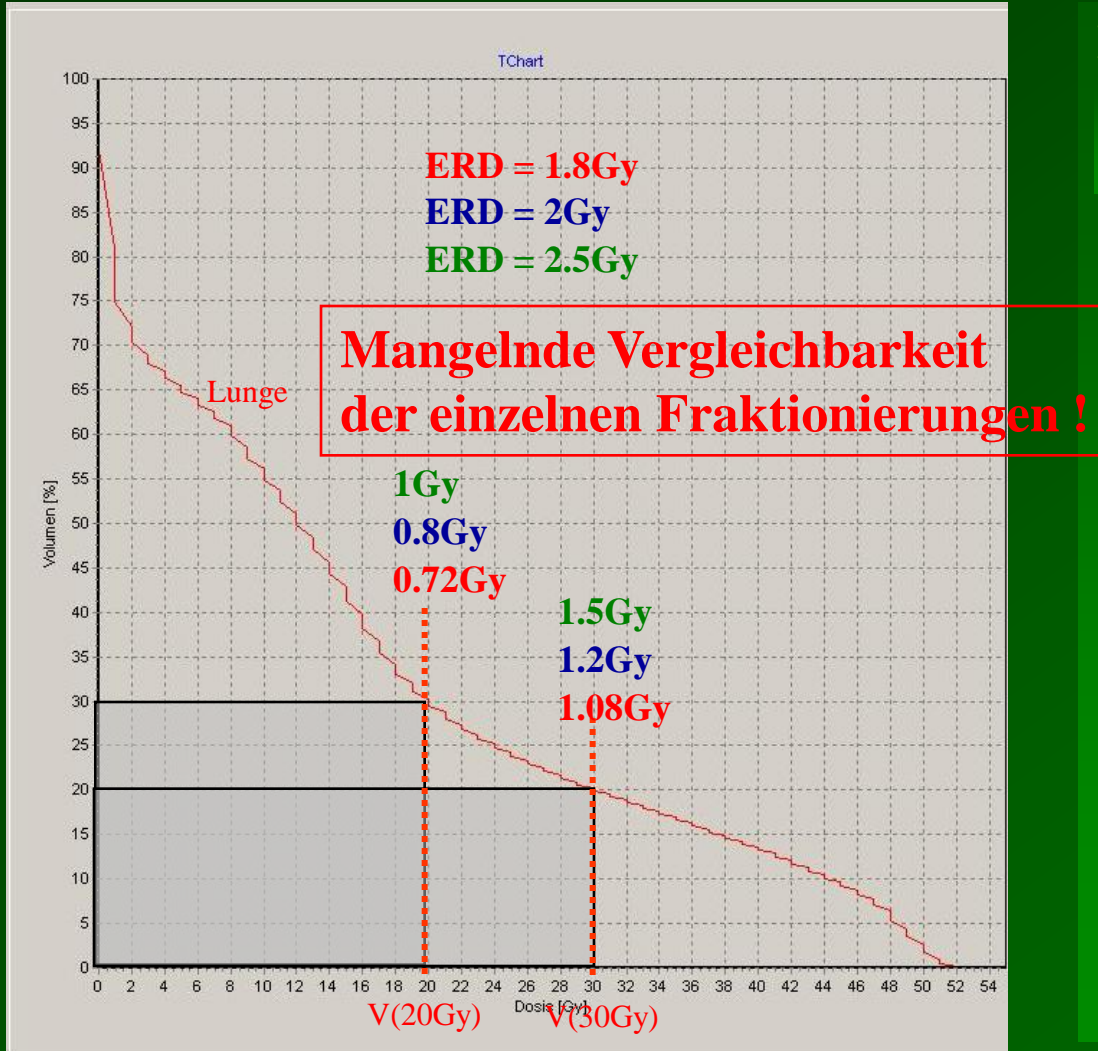
Lungenfraktionsdosis bei ERD = 2Gy



Fragen ?

Wieviel Fraktionsdosis wirklich in
wieviel Lungenvolumen ?

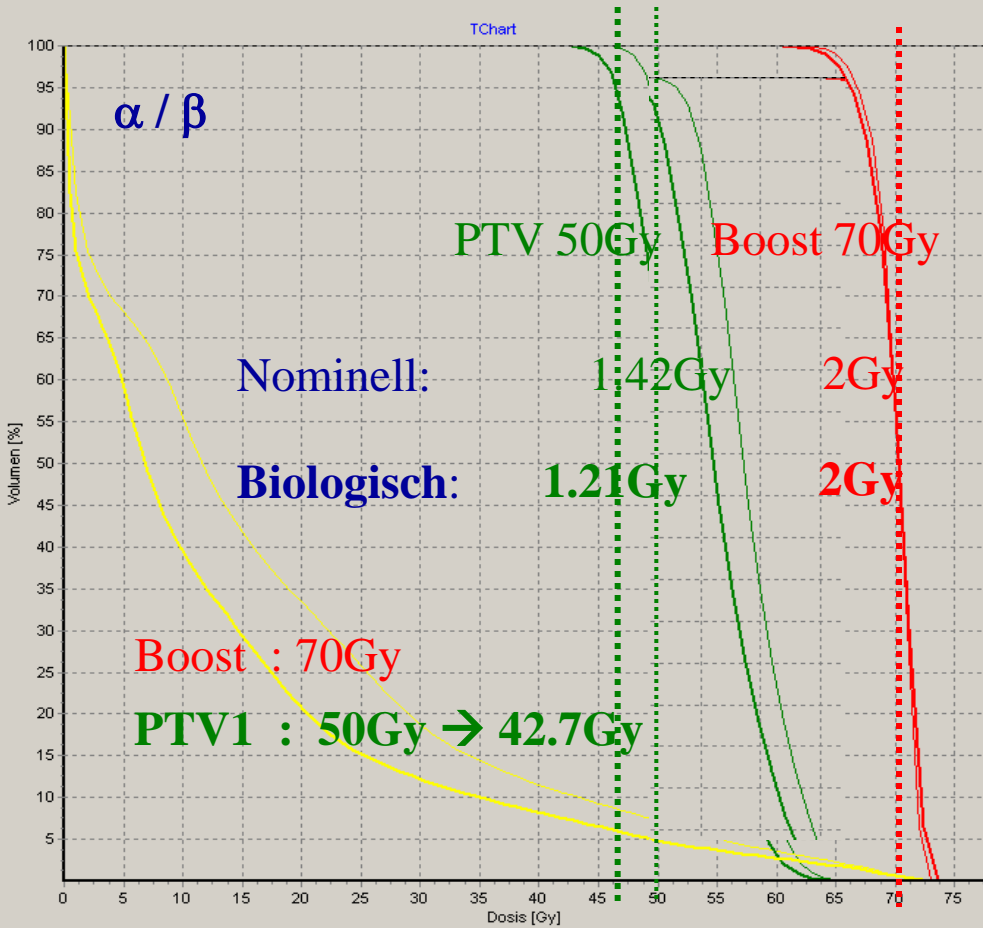
Lungenfraktionsdosis bei GRD = 50Gy



Fragen ?

Wieviel Fraktionsdosis wirklich in
wieviel Lungenvolumen ?

Problem – Integrierter Boost



Fraktionierung
 $35 \times 2\text{Gy} \rightarrow 70\text{Gy}$ (Boost)

Problem:
Nominelles Dosiskonzept
führt zur
Unterdosierung des PTV1 (50Gy)

Lösung ..?..:
Anhebung der Verordnungsdosis für PTV1
(wird bei Prostata praktiziert)

Fraktionierungsproblem bei Integrated Boost

PTV1 (70Gy) / PTV2 (50Gy)

$35 \times 2\text{Gy} \rightarrow 70\text{Gy}$

PTV1 (60Gy) / PTV2 (50Gy)

$30 \times 2\text{Gy} \rightarrow 60\text{Gy}$

PTV (50Gy)

$25 \times 2\text{Gy} \rightarrow 50\text{Gy}$

PTV (50Gy)

$20 \times 2.5\text{Gy} \rightarrow 50\text{Gy}$

PTV (25Gy)

$5 \times 5\text{Gy} \rightarrow 25\text{Gy}$

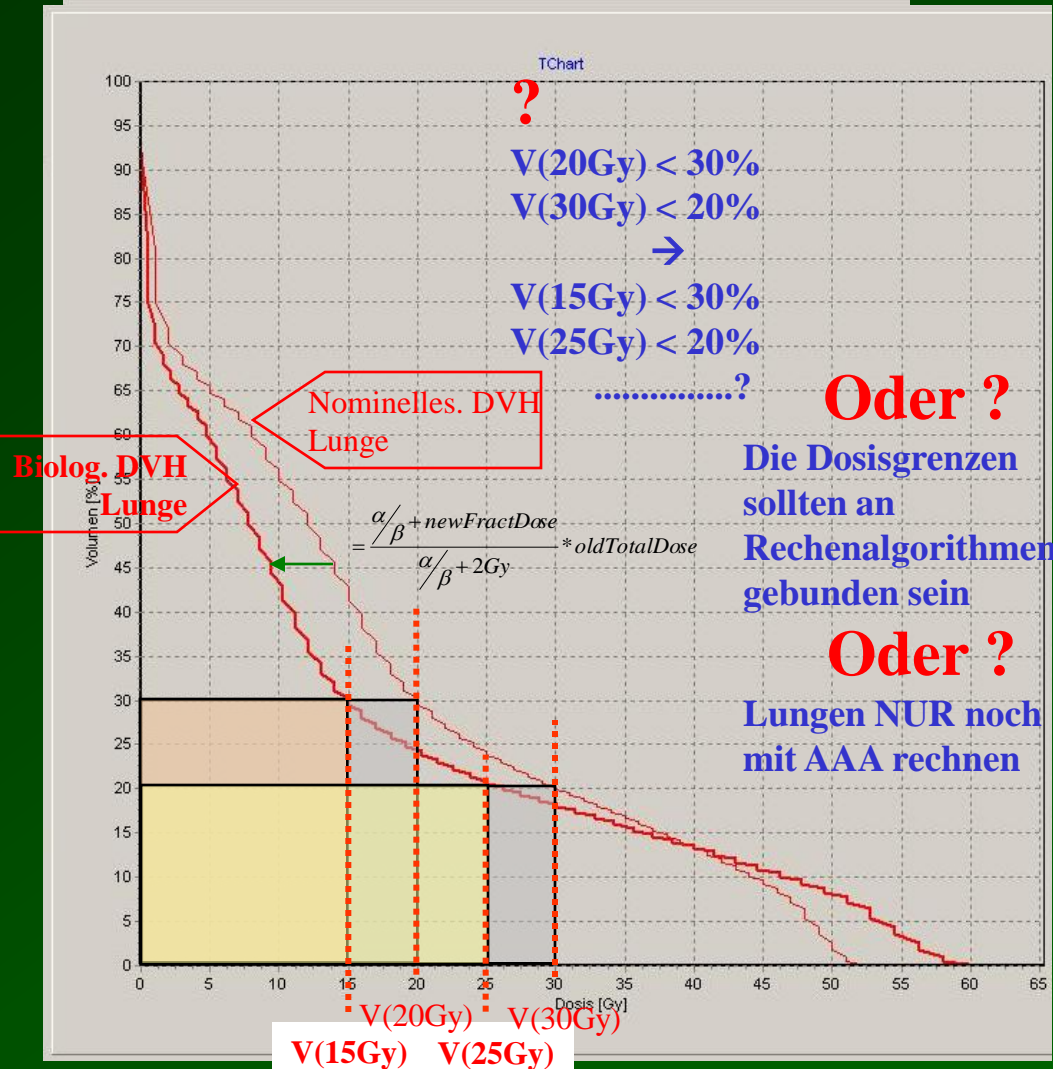
**Untergeordnete PTV's
und**

**Risikoorgane
bekommen
unterschiedliche
Fraktionsdosen
ab**

**DVH's und Dosis-Limits
nicht miteinander
vergleichbar**

Nomin. DVH → Biolog. DVH

(Schaffung der Vergleichbarkeit)



Fraktionierung :
 $20 \times 2.5\text{Gy} \rightarrow 50\text{Gy}$

Hypothese :

Durch die Umrechnung werden die DHV's für verschiedene Fraktionierungen vergleichbar α/β -Modell

Aufgabe :
Herleitung vergleichbarer Constraints

z.B. Lungen :

$V(20\text{Gy}) < 30\%$
 $V(30\text{Gy}) < 20\%$
 →
 $V(\text{xxGy}) < 30\%$
 $V(\text{yyGy}) < 20\%$

Programm

C:\Blank\EB_DVH_V8\Plans\alte Pläne\Alting.txt

DVH-File laden

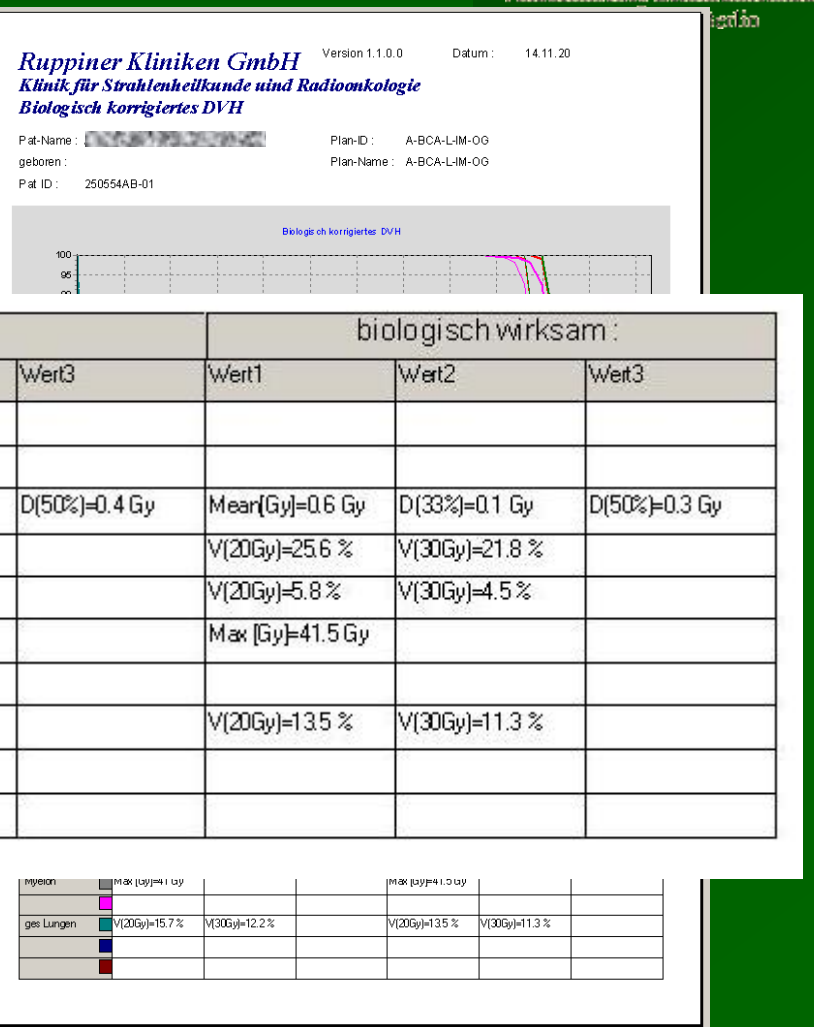
Pat Name: Alting, Burkhard (25055) Pat ID: 250554AB-01 Datum: 14.11.2007 13:20:51 Werte

Kommentar: DVHs for one plan

DVH Typ: Cumulative Dose Volum Plan: A-BCA-LIM-0G

GRD:	Region	Organ	Alpha/T	
50 Gy	1	Kopf	Linse	2 7
	2	Kopf	Auge	2 45
	3	Kopf	Schnerv	2 50
	4	Kopf	Chasma	2 50
	5	Kopf	Hypophyse	2 45
	6	Kopf	Hirn	1.5 60
	7	Kopf	Innenohr	2 40
	8	Kopf	Hirnstamm	1.5 50
	9	Kopf	Tumor	7 80
	10	HNO	Myelon	2 45
	11	HNO	Parotis	3 25
	12	HNO	Submandibula	3 25
	13	HNO	Schleimhaut	10 70
	14	HNO	Mandibula	2 50
	15	HNO	Zähne	
	16	HNO	Tumor	10 80
	17	HNO	Normalgewebe	3 50
	18	Thorax	Myelon	2 45
	19	Thorax	Lunge	2 15
	20	Thorax	Herz	3 40
	21	Thorax	Nervus Plexus	2 60
	22	Thorax	Desophagus	2 60
	23	Thorax	Brust	2 50
	24	Thorax	Tumor	8 80
	25	Thorax	Normalgewebe	3 50
	26	Abdomen	Leber	1 30
	27	Abdomen	Nieren	2 20
	28	Abdomen	Darm	4 40
	29	Abdomen	Sigmoid	2 45
	30	Abdomen	Rektum Vordere	5 60 2
	31	Abdomen	Rectum Hinterw	5 60 2
	32	Abdomen	Blase	5 50 2
	33	Abdomen	Urethra	2 60 2
	34	Abdomen	Myelon	3 45 2
	35	Abdomen	Tumor	8 80 2
	36	Abdomen	Normalgewebe	2 50 2

Rechnen Rechnen Speichern Beenden Setup



F_EB_AlphaBeta_Setup

EB - AlphaBeta

Speichern

c:\[pv12260]

Organklasse :	Organ :	α / β	Tol.-Dosis :	alte Frakt.-Dosis
Kopf	Linse	2	7	2
Kopf	Auge	2	45	2
Kopf	Sehnerv	2	50	2
Kopf	Chiasma	2	50	2
Kopf	Hypophyse	2	45	2
Kopf	Hirn	1.5	60	2
Kopf	Innenohr	2	402	2
Kopf	Hirnstamm	1.5	50	2
Kopf	Tumor	7	80	2
HNO	Myelon	2	45	2
HNO	Parotis	3	25	2
HNO	Submandibula	3	25	2
HNO	Schleimhaut	10	70	2
HNO	Mandibula	2	50	2
HNO	Zähne	1		2
HNO	Tumor	10	80	2
HNO	Normalgewebe	3	50	2
Thorax	Myelon	2	45	2
Thorax	Lunge	2	15	2
Thorax	Herz	3	40	2
Thorax	Nervus Plexus	2	60	2
Thorax	Oesophagus	2	60	2
Thorax	Brust	2	50	2
Thorax	Tumor	8	80	2
Thorax	Normalgewebe	3	50	2
Abdomen	Leber	1	30	2
Abdomen	Nieren	2	20	2
Abdomen	Darm	4	40	2
Abdomen	Sigmoid	2	45	2
Abdomen	Rektum Vorderwand	5	60	2
Abdomen	Rectum Hinterwand	5	60	2
Abdomen	Blase	5	50	2
Abdomen	Urethra	2	60	2
Abdomen	Myelon	3	45	2
Abdomen	Tumor	8	80	2
Abdomen	Normalgewebe	2	50	2

```

TRLinsen = record
  Name: string;
  MaxBio: Single;
end;
end;

TRParotis = record
  TRLunge = record
    Name: string;
    V20: Single;
    TRLeber = record
      Name: string;
      V30: Single;
      V30Bio: Single;
    end;
  end;
  end;

TRSubrn = record
  TRNieren = record
    TF: string;
    V20: Single;
    V20Bio: Single;
  end;
  end;
  end;

TRDarm = record
  TRSchl = record
    Name: string;
    V45: Single;
    V45Bio: Single;
  end;
  end;
  end;

TRSigmum = record
  TRMand = record
    NS: string;
    Max: Single;
    MaxBio: Single;
  end;
  end;
  end;

TRRektumVW = record
  TRZaek = record
    TF: string;
    Name: string;
    Max: Single;
    V60: single;
  end;
  end;
  end;

TRRektumHW = record
  TRLunge = record
    Name: string;
    MaxBio: Single;
    V60Bio: single;
  end;
  end;
  end;

```



Schlussfolgerungen

IMRT beinhaltet feingliedrige Dosis-Stufungen bei Zielvolumina und Risiko-Organen (Integrated Boost)

Biologische Wirksamkeit der Strahlenbehandlungen ist stark von der Fraktionierung abhängig

Mit biologischen Dosismodellen müssen Bestrahlungspläne unterschiedlicher Fraktionierungen in ihrer biologischen Wirkung vergleichbar werden

Biologische DVH Korrektur → ein Schritt in Richtung biolog. Bewertung von Bestrahlungsplänen

Zukunft = Biologische Bestrahlungsplanung

Ende



IMRT der Lungen



S. S. Yom et.al. (M. D. Andersen Cancer Center)

Initial evaluation of treatment-related pneumonitis...

Int. J. Radiation Biol. Phys., Vol. 68, No. 1, pp. 94-102, 2007

V.W. Wu et.al.

Target dose conformity in 3-dimensional conformal and intensity modulated radiotherapy

Radiother. Oncol. 2004;71:201-206

I.S. Grill et.al.

Potential for reduced small-cell lung cancer: A comparison of intensity modulated radiation therapy (IMRT), 3D conformal radiation and elective nodal irradiation

Int. J. Radiat.Biol. Phys. 2003;57:875-890

H. Murshed et.al.

Dose and volume reduction for normal lung using intensity modulated radiotherapy for advanced-stage non-small-cell lung cancer

Int. J. Radiat.Biol. Phys. 2004;58:1258-1267

H.H. Liu et.al.

Feasibility of sparing lung and other thoracic structures with intensity-modulated radiotherapy for non-small-cell lung cancer

Int. J. Radiat.Biol. Phys. 2004;58:1268-1279

Welche Toleranzdosen

S. Wang et.al. (M. D. Andersen Cancer Center)

Analysis of clinical and dosimetric factors associated with treatment-related pneumonitis...

Int. J. Radiation Biol. Phys., Vol. 68, No. 5, pp. 1399-1407, 2006

3d-CRT (1.8-2Gy)

rV(5)-rV(65),

V(20Gy) < 30%

V(30Gy) < 20%

A. J. Hope et.al. (Siteman Cancer Center, St. Louis, Missouri)

Modelling radiation pneumonitis risk with clinical, dosimetric and spatial parameters

Int. J. Radiation Biol. Phys., Vol. 65, No. 1, pp. 112-124, 2006

3d-CRT (1.5-2.5y)

Bootstrap rank

D_{mean} R = 0.183

V(13Gy) R = 0.185

D(35%) R = 0.19

S. S. Yom et.al. (M. D. Andersen Cancer Center)

Initial evaluation of treatment-related pneumonitis...

Int. J. Radiation Biol. Phys., Vol. 68, No. 1, pp. 94-102, 2007

3d-CRT, IMRT

(1.8-2Gy)

V(5Gy) < 65%,

V(10Gy) < 50%

V(20Gy) < 35%